

211

三点曲げによる積層はり内部はく離の局所座屈

Local Delamination Buckling of a Laminated Beam Due to Three-Point Bending

○正 深川 和良 (鹿大院)
正 有富 正男 (鹿大)

正 小田 美紀男 (鹿大)
正 戸谷 真之 (鹿大)

Kazuyoshi Fukagawa, Kagoshima University, 1-21-40, Korimoto, Kagoshima
Mikio Oda, Masao Aritomi, Masayuki Toya, Kagoshima University

1. 緒 言

積層はり中の内部はく離の進展条件を明らかにすることは、実用上きわめて重要である。本報告では三点曲げを受ける積層はり内部はく離の局所座屈がエネルギー解放率に及ぼす効果について解析する。着力点がはく離面外にある場合については、すでに報告した⁽¹⁾ので、本報告では着力点がはく離面上にある場合を取り上げる。

2. 解 析

たわみの解析 解析モデルを図1に示す。積層はりの長さ(支点間距離)をL、上のはりの厚さ、幅、ヤング率、及び断面2次モーメントをそれぞれ h_1, b_1, E_1, I_1 とし、下のはりのこれらの諸量を h_2, b_2, E_2, I_2 とする。いま、長さcの界面はく離が含まれていると仮定し、左の支点からのはく離左端までの距離を a_L とする。集中力Pが左端から距離d(または、右端から $d=L-d$)の位置に作用している。着力点がはく離面上にある場合($a_L < d < L-a_R$)を考える。

仮想的にはりをB、D点で分離し三つの要素AB、BDおよびDEに分ける。はく離部分BDは両隅部でヒンジ止めされた重ねはりとしてモデル化する。ヒンジの作用は、上のはりに対しては、圧縮軸力-Z、下のはりに対しては引張り軸力Zに置換えられる。軸力の大きさは後に変位の適合条件から決定される。ヒンジはまた垂直方向力-R_Bおよび-R_Dを両隅部に及ぼす。ヒンジをこれらの力に置換えることにより、図2の自由体線図を得る。 $c_L < c_R$ と仮定し、区間BCでは、はく離面は互いに接触しており(分布接触力は-q(x))。一方、区間CDにおいては上のはりは座屈を起こしているものとする。せん断力 $F_{1B}=\alpha_1 F_B$ および $F_{1D}=\alpha_2 F_D$ 、曲げモーメント M_{1B} および M_{1D} 、水平方向圧縮力Zおよび垂直力R_BおよびR_Dが上のはりの両端に図1に示す方向に作用している。同様に、せん断力 $\beta_1 F_B$ および $\beta_2 F_D$ 、モーメント M_{2B} および M_{2D} 、引張り力Z、垂直方向力R_BおよびR_Dが下のはりに作用している。ここで、 $\alpha_1, \alpha_2, \beta_1$ および β_2 は関係式 $\alpha_1+\beta_1=1$ および $\alpha_2+\beta_2=1$ を満足する未定定数である。

区間BCにおいてはく離面は互いに接触しているとし、また負荷Pの一部 $\alpha_1 P$ が上層に作用し、 $\beta_2 P$ が下層に作用すると仮定する。ここで、 $\alpha_2+\beta_2=1$ であり、 α_2 は解を求める過程に

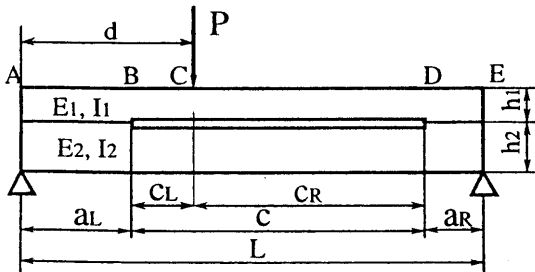


Fig.1 Laminated beam subject to three-point bending

おいて決定されるべき未定定数である。釣合い条件より次式を得る。

$$\begin{aligned} F_B &= P(L-d)/L, \quad F_D = Pd/L, \\ M_{1B} + M_{2B} &= F_B a_L, \quad M_{1D} + M_{2D} = Pda_R/L \end{aligned} \quad (1)$$

区間BCにおいて、上層および下層におけるxの位置における曲げモーメント M_{x1} および M_{x2} は以下のように与えられる。

$$M_{x1} = M_1 + \alpha'_1 F_B x + Z y(x) + \int_0^x q(x') (x-x') dx \quad (2)$$

$$M_{x2} = M_2 + \beta'_1 F_B x - Z y(x) - \int_0^x q(x') (x-x') dx \quad (3)$$

ここで、yは上層、下層のたわみである。また、

$$\alpha'_1 F_B = \alpha_1 F_B + R_B, \quad \beta'_1 F_B = \beta_1 F_B - R_B \quad (4)$$

$$M_1 = M_{1B} - Z h_1 / 2, \quad M_2 = M_{2B} - Z h_2 / 2, \quad (5)$$

たわみの微分方程式 $D_1 d^2 y / dx^2 = -M_{x1}$, $D_2 d^2 y / dx^2 = -M_{x2}$ (ここで、 D_i ($i=1, 2$)は上下層の曲げ剛性 $D_i = E_i I_i / b h_i^3 / 12$ ($i=1, 2$))を足し合わせ、(2) (3) 式を代入し、積分して

$$y_{BC} = s_1 x^3 + s_2 x^2 + s_3 x \quad (6)$$

ここで

$$s_1 = -F_B / (6D), \quad D = D_1 + D_2 \quad (7)$$

$$s_2 = (-F_B a_L + hZ / 2) / (2D), \quad h = h_1 + h_2 \quad (8)$$

s₃は未定定数である。

つぎに区間CD($d-a_L < x < c$)においては、局所座屈がおきており上下層のたわみは異なる。これらをそれぞれy₁およびy₂で表すと、座標xにおけるモーメントは以下のようになる。

$$M_{x1} = M_1 + \alpha'_1 F_B x + f_1 Z - f_2 Zx + Z y_1(x) - \alpha_2 P(x-d+a_L) \quad (9)$$

$$M_{x2} = M_2 + \beta'_1 F_B x - f_1 Z + f_2 Zx - Z y_2(x) - \beta_2 P(x-d+a_L) \quad (10)$$

ここで、M₁およびM₂は材端モーメントであり、また

$$f_1 = \frac{-F_B(d-a_L)}{D} \left[\frac{(d-a_L)^2}{3} + \frac{1}{2}(d-a_L) \left(a_L - \frac{hZ}{2F_B} \right) \right] \quad (11)$$

$$f_2 = \frac{F_B(d-a_L)}{D} \left(-\frac{d+a_L}{2} + \frac{hZ}{2F_B} \right) \quad (12)$$

たわみの微分方程式を解いて

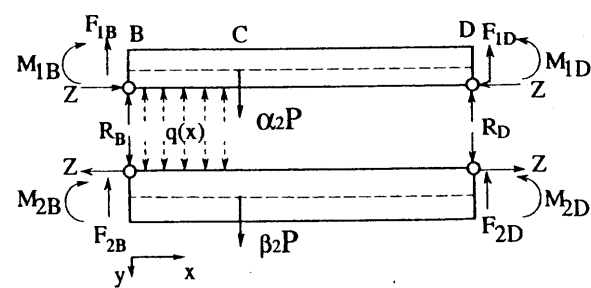


Fig.2 Free body diagram of the delaminated part

$$y_1 = A_1 \cos(k_1 x) + B_1 \sin(k_1 x) - \frac{M_1}{Z} - \frac{\alpha'_1 F_B x}{Z} \quad (13)$$

$$-f_1 + f_2 x + \alpha_2 P(x-d+a_L)/Z$$

$$y_2 = A_2 \exp(k_2 x) + B_2 \exp(-k_2 x) + \frac{M_2}{Z} + \frac{\beta'_1 F_B x}{Z} \quad (14)$$

$$-f_1 + f_2 x + \beta_2 P(x-d+a_L)/Z$$

ここで、 $k_1 = \sqrt{Z/D_1}$, $k_2 = \sqrt{Z/D_2}$.

接着部分の区間ABおよびDFにおけるたわみ y_{AB} および y_{DF} はx座標の原点をA点に取ると

$$y_{AB} = -F_B x^3 / (6D') + s_4 x \quad (15)$$

$$y_{DF} = \frac{Pd}{6LD'} x^3 - \frac{Pd}{2D'} x^2 + s_5 x + s_6 \quad (16)$$

D' は接着はりの曲げ剛性である。さらに、 $y_{DF}|_{x=0}=0$ より $s_6 = PdL^2/(3D')$ となる。残りの9つの未定定数 $A_i, B_i (i=1, 2)$, $s_3 \sim s_5$, α'_1, α'_2 は軸力Zの関数として、点B, C, Dにおけるたわみ、およびたわみ角の連続条件から求められる。

軸力Zは変形前に点BおよびDにおいて中立面に垂直であった断面は、変形後も垂直を保つという条件から決定される。この条件より非線形方程式 $F(Z)=0$ 、ただし

$$F(Z) = \frac{Zc}{E_1 h_1 w_1} + \frac{Zc}{E_2 h_2 w_2} + \frac{1}{2} \int_{d-a_L}^c (y'_1)^2 dx - \frac{1}{2} \int_{d-a_L}^c (y'_2)^2 dx - \frac{h}{2} (\theta_L + \theta_R) \quad (17)$$

を得る。ここで、 θ_L と θ_R はB, D点におけるたわみ角で、

$$\theta_L = -\left. \frac{dy_{BC}}{dx} \right|_{x=a_L}, \quad \theta_R = \left. \frac{dy_1}{dx} \right|_{x=c} \quad (18)$$

Zが求められると、すべての未定定数がきまる。着力点におけるたわみ δ は $\delta = y_{AB}|_{x=a_L} + y_{BC}|_{x=c}$ で与えられる。

Zの数値解 ヤング率がそれぞれ $E_1 = 182.0$ GPaのステンレス鋼はりを上層に、 $E_2 = 2.94$ GPaのアルミニウムはりを下層とする組み合わせを考える。厚さ、幅をそれぞれ $h_1 = 0.5$ mm, $b_1 = 20$ mmおよび $h_2 = 2$ mm, $b_2 = 30$ mm、全長は共に $L = 400$ mmとする。また、 $d = 150$ mm, $a_R = 50$ mmおよび $c = 240$ mmと設定する。 $F(Z)=0$ の解Zの挙動を調べるために、関数 $F(Z)$ をZに対してプロットしたところ、荷重が小さいときは解は一つだけであり、荷重が増大するにつれ解の数は増大することがわかった。例えば、 $P=3.5$ Nの場合、 $F(Z)=0$ は3つの解 $Z(I)$, $Z(II)$, $Z(III)$ （ただし、 $Z(I) < Z(II) < Z(III)$ ）を持つが、これらに対応するたわみ曲線を描かせたところ、 $Z(I)$, $Z(III)$ に対しては、上にあるべき上層が下層の下にきており、矛盾が生じることがわかった。これに対し、2番目の解 $Z(II)$ に対するたわみ曲線は矛盾を含まず、 $Z(II)$ のみが座屈に対する適切な解であることがわかった。同様な結果が他のPの値に対しても成立し、それゆえ臨界座屈荷重 P_c は、2番目の解が始めて現れる荷重として定義できる。荷重が臨界座屈荷重をこえた後の着力点変位関係（ P - δ 曲線）は、いくつかのPに対して解Zを求めるにより得られる。荷重が臨界座屈荷重以下の場合は、はく離面が全面接觸しているモデル⁽²⁾の解が適用される。この場合、変位 δ は荷重 P に比例し、コンプライアンス $\Phi (= \delta/P)$ を与える式はすでに得られている。図3にモデルはりに対する P - δ 曲線を示す。 P - δ 曲線は、バイリニアであり、座屈後は、はりはたわみやすくなっていることがわかる。図中に実験値も合わせて示しているが、解析と良く一致している。

3. エネルギー解放率

つぎに、上下のはりの幅が同じであるとしたとき($b_1=b_2=b$)のエネルギー解放率を、座屈前後に対して計算し、

座屈がエネルギー解放率に及ぼす影響を調べる。全面接触の場合はGはすでに与えられている。一方、座屈後のGの計算には、一般的な負荷を受ける積層はり中の界面き裂のエネルギー解放率を与えるSuoおよびHutchinson⁽³⁾の公式を用いる。ここで、前節で扱ったモデルで、 $b_1=b_2$, $d=150$ mmボアソン比を $\nu_1=0.29$, $\nu_2=0.33$ とおき、また、荷重は $P=11.0$ N, ($c=100$ mmに対する座屈荷重に等しい)とする。図4に、平面応力条件を仮定したときの、き裂の左端（図4(a)）および右端（図4(b)）におけるエネルギー解放率を c/L に対してプロットした。Gは座屈により一般に大きくなることがわかる。この効果はき裂左端（負荷点に近い側）において顕著である。

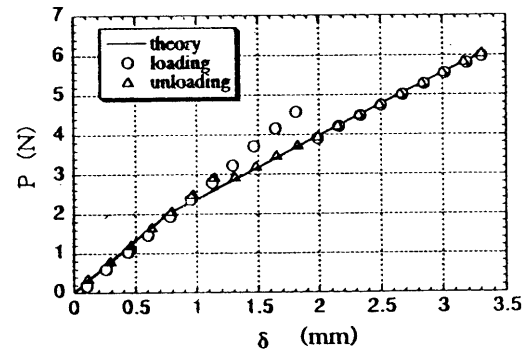


Fig.3 Relation between P and δ

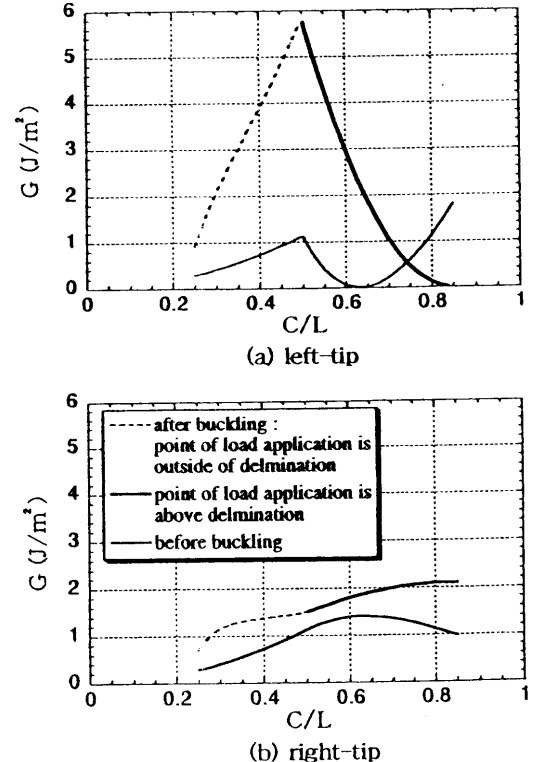


Fig.4 Comparison of the energy release rates before and after buckling

文献

- (1) 戸谷眞之ほか3名, 機論, 62-602 A(1996), p.2242
- (2) 戸谷眞之ほか3名, 機論, 60-578 A(1994), p.2266
- (3) Suo, Z. and Hutchinson, J. W., Int. J. Fract., Vol.43(1990), p.1